

*A.O. Гусенцов*

# **ВЛИЯНИЕ ЗНАЧЕНИЙ УГЛА ВСТРЕЧИ ПУЛИ С ПРЕГРАДОЙ НА ПАРАМЕТРЫ УЧАСТКА ОБТИРАНИЯ ВОКРУГ ВХОДНЫХ ПУЛЕВЫХ ОГНЕСТРЕЛЬНЫХ ПОВРЕЖДЕНИЙ ЭКСПЕРИМЕНТАЛЬНЫХ МИШЕНЕЙ, ОБРАЗОВАВШИХСЯ В РЕЗУЛЬТАТЕ РИКОШЕТА ПРИ ВЫСТРЕЛЕ ИЗ 9-ММ ПИСТОЛЕТА МАКАРОВА**

УО «Академия Министерства внутренних дел Республики Беларусь»

---

*На основании комплексного исследования результатаов проведенного лабораторного эксперимента автором установлено прямая связь между значениями угла встречи пули с преградой и параметрами участка обтирания вокруг входных пулевых огнестрельных повреждений, образовавшихся в результате рикошета при выстреле из 9-мм пистолета Макарова.*

**Ключевые слова:** огнестрельное повреждение, пуля, рикошет, угол встречи пули с преградой

*A. O. Gusentsov*

**THE INFLUENCE OF THE ANGLE OF THE MEETING WITH A BULLET ON THE  
PARAMETERS OF A BARRIER AROUND THE ENTRANCE AREA WIPING BULLET  
GUNSHOT INJURIES EXPERIMENTAL TARGETS, RESULTING FROM A RICOCHET  
WHEN FIRED FROM A 9-MM MAKAROV PISTOL.**

*Based on the results of a comprehensive study conducted laboratory experiments we found a direct relationship between the values of the angle between the bullet and the parameters with the target area around the intakes wiping bullet gunshot injuries, resulting from a ricochet when fired from a 9-mm Makarov pistol.*

**Key words:** fire damage, bullet ricochet bullet angle of impact with the barrier

## ★ Оригинальные научные публикации

## Лечебно-профилактические вопросы

**В**езультате проведения многочисленных исследований в области судебно-медицинской баллистики установлены, что поясок обтирания является одним из типичных признаков входной пулевой огнестрельной раны [1, с. 157; 5, с. 283-286]; степень выраженности его окраски (коричневая, темно-коричневая, коричнево-черная, черная) обусловлена отложением частиц, имеющихся на поверхности пули – копоти, остатков пороха, частиц металла, ржавчины [7, с. 109]. Поясок обтирания может быть слабо выражен при использовании тщательно вычищенного оружия, при выстрелах через многослойную одежду либо под углом, близким к прямому [4, с. 159].

Цель исследования – определения степени зависимости параметров участка обтирания вокруг входных пулевых огнестрельных повреждений, образовавшихся в результате рикошета при выстреле из 9-мм пистолета Макарова, от значений угла встречи пули с препятствием.

### Материал и методы

Для достижения поставленной цели использовались результаты лабораторного эксперимента, проведенного автором в 2007-2012 гг. на базе Государственного экспертно-криминалистического центра МВД Республики Беларусь: произведено 350 выстрелов из 9-мм пистолета Макарова. Выстрелы производились с двух значений допрергадного расстояния (ДПР) – между дульным срезом ствола оружия и поверхностью препятствия (50 см и 100 см), трех значений запрергадного расстояния – между препятствием и экспериментальной мишенью (ЗПР) – 30 см, 40 см 50 см, с 5 значений угла встречи пули с препятствием ( $10^\circ, 20^\circ, 30^\circ, 40^\circ, 50^\circ$ ) [3; 6]. В соответствии с рекомендациями, изложенными в специальной литературе [9, с. 506], в качестве рикошетирующих препятствий нами использовались материалы, наиболее часто встречающиеся в объектах окружающего мира (зданиях, сооружениях, транспортных средствах и т.п.) – кирпич глиняный обыкновенный марки 100, пенобетон марки D600

класса B2,5, бетон марки М350 класса B25, сталь марки Ст45. Объектами попадания пули после рикошета (экспериментальными мишениями) являлись бязевые мешки и кожно-мышечные лоскуты, изъятые с ампутированных нижних конечностей; использование в качестве мишеней указанных объектов, их параметры соответствуют методикам, применяемым в судебно-медицинской науке [2; 8]. Входные огнестрельные повреждения экспериментальных мишеней были подвергнуты комплексному судебно-медицинскому исследованию.

### Результаты и обсуждение

В ходе проведения визуального исследования входные пулевые огнестрельные повреждения были условно разделены на 2 группы: при наличии одного повреждения либо нескольких, равных или приблизительно равных по размерам они были названы «Основными повреждениями» (ОП); при наличии нескольких повреждений, из которых одно гораздо больше других по размерам, оно было названо «Основным повреждением», а остальные, гораздо меньшие по размерам – «Дополнительными повреждениями» (ДП). При проведении визуального исследования огнестрельных повреждений нами отмечено, что нередко вокруг входного отверстия имеется не поясок обтирания, а участок, располагающийся с одной из сторон пулевого отверстия и имеющий различные формы и размеры; данное явление было названо «участок обтирания». Образование обтирания в виде участка может быть объяснено тем, что в результате контакта с препятствием возможна потеря устойчивости пули в полете, что может привести к ее повороту вокруг продольной оси, приобретению «кувыркательного» характера движения и причинению повреждения боковой поверхностью [4, с. 237]. Проведено исследование зависимости между значениями размеров участков обтирания вокруг входных пулевых огнестрельных повреждений и значениями угла встречи пули с препятствием; выполнена проверка ее значимости; для анализа использовался

Таблица 1 – Описательная статистика и результаты анализов значений длины участка обтирания основного повреждения с учетом уровня фактора угол встречи пули с препятствием («Угол встречи»)

| «Угол встречи» <sup>0</sup>            | Количество | Среднее значение                 | СКО   | Ошибка среднего                           | 95% доверительный интервал |                 | Минимум | Максимум |
|--|------------|----------------------------------|-------|---|----------------------------|-----------------|---------|----------|
|  |            |                                  |       |   | Нижняя граница             | Верхняя граница |         |          |
| 10                                     | 22,000     | 0,695                            | 0,367 | 0,078                                     | 0,533                      | 0,858           | 0,100   | 1,400    |
| 20                                     | 17,000     | 0,747                            | 0,336 | 0,081                                     | 0,574                      | 0,920           | 0,200   | 1,300    |
| 30                                     | 21,000     | 1,186                            | 0,416 | 0,091                                     | 0,996                      | 1,375           | 0,200   | 1,800    |
| 40                                     | 12,000     | 0,992                            | 0,417 | 0,120                                     | 0,727                      | 1,256           | 0,400   | 1,600    |
| 50                                     | 25,000     | 1,156                            | 0,552 | 0,110                                     | 0,928                      | 1,384           | 0,300   | 2,400    |
| Всего                                  | 97,000     | 0,966                            | 0,475 | 0,048                                     | 0,870                      | 1,062           | 0,100   | 2,400    |
| Корреляционный и дисперсионный анализы |            |                                  |       |   |                            |                 |         |          |
| Критерий Колмогорова-Смирнова D        | p          | Коэффициент Пирсона (корреляция) | p     | Коэффициент Фишера (дисперсионный анализ) | p                          |                 |         |          |
| 0,07372                                | > 0,20     | 0,37                             | <0,05 | 5,772906                                  | 0,000344                   |                 |         |          |

Таблица 2 – Описательная статистика для длины участка обтирания ОП с учетом двух уровней фактора угол встречи пули с преградой угол встречи пули с преградой («Угол встречи»).

| «Угол встречи» <sup>0</sup> | Количество | Среднее значение | СКО  | Ошибка среднего | 95% доверительный интервал |                 | Минимум | Максимум |
|-----------------------------|------------|------------------|------|-----------------|----------------------------|-----------------|---------|----------|
|                             |            |                  |      |                 | Нижняя граница             | Верхняя граница |         |          |
| 10-20                       | 39,00      | 0,72             | 0,35 | 0,06            | 0,60                       | 0,83            | 0,10    | 1,40     |
| 30-50                       | 58,00      | 1,13             | 0,48 | 0,06            | 1,01                       | 1,26            | 0,20    | 2,40     |
| Всего                       | 97,00      | 0,97             | 0,48 | 0,05            | 0,87                       | 1,06            | 0,10    | 2,40     |

|   |                        |
|---|------------------------|
| <b>Дисперсионный анализ</b>               |                        |
| Коэффициент Фишера (дисперсионный анализ) | P (уровень значимости) |
| 21,57865                                  | 0,000011               |

как дисперсионный, так и корреляционный анализы (табл. 1-4).

Согласно значению коэффициента корреляции Пирсона для рассматриваемого параметра удалось зафиксировать умеренную положительную статистически значимую связь. Результаты однофакторного дисперсионного анализа ( $F=5,77$ ,  $p=0,00034$ ) показали статистическую значимость различий средних значений параметра длина участка обтирания с вероятностью более 99%. На рисунке 1 представлены диаграммы 95% доверительных интервалов для средних значений в группах, соответствующих различным уровням фактора – Угол встречи пули с преградой.



Рис. 1 – Диаграмма для параметра длина участка обтирания ОП (Mean – среднее значение, SE – ошибка среднего)

При изучении результатов анализа описательных статистик отмечается отличие значений параметра для значений угла встречи пули с преградой  $> 20$ . Следовательно, научно обоснованно будет разбить значения угла на две группы (два уровня), где первая группа включает значения угла  $< 30$ , а вторая – значения угла  $\geq 30$  и проанализировать влияние уровней фактора угол на длину участка обтирания (табл. 2).

Как видно из таблицы 2, влияние угла встречи пули с преградой значимо более чем с 99% вероятностью. На рисунке 2 представлены диаграммы 95% доверительных интервалов для средних значений в группах, соответствующих двум уровням фактора угол встречи пули с преградой.

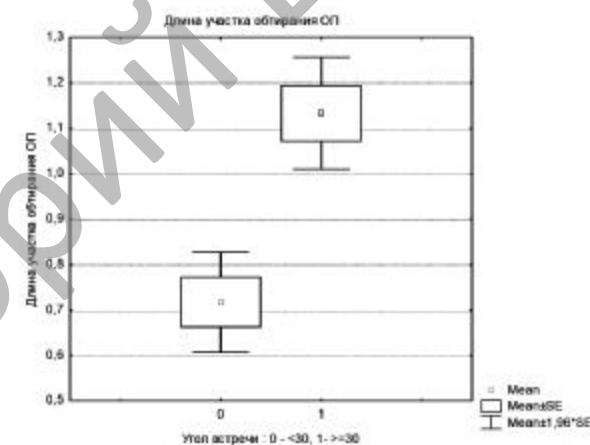


Рис. 2 – Диаграмма для параметра длина участка обтирания ОП (Mean – среднее значение, SE – ошибка среднего)

Таким образом, основываясь на доверительных интервалах можно прогнозировать значение угла:

1) Если значение длины участка обтирания находится в интервале [0,6-0,83], угол меньше  $30^{\circ}$ .

2) Если значение длины участка обтирания находится в интервале [1,01-1,26], угол больше или равен  $30^{\circ}$ .

На рисунке 3 представлены диаграммы 95% доверительных интервалов для средних значений искомого параметра в зависимости от значений угла встречи пули с преградой. Согласно значению коэффициента корреляции Пирсона для рассматриваемого параметра удалось зафиксировать умеренную положительную статистически значимую связь. Результаты однофакторного дисперсионного анализа ( $F=3,790$ ,  $p=0,00673$ ) показали статистическую значимость различий средних значений параметра ширина участка обтирания с вероятностью более 99% (рис. 3).

## ★ Оригинальные научные публикации ■ Лечебно-профилактические вопросы

Таблица 3 – Описательная статистика и результаты анализов значений ширины участка обтирания основного повреждения с учетом уровней фактора угол встречи пули с препятствием («Угол встречи»)

| «Угол встречи» <sup>0</sup> | Количество | Среднее значение | СКО   | Ошибка среднего | 95% доверительный интервал |                 | Минимум | Максимум |
|-----------------------------|------------|------------------|-------|-----------------|----------------------------|-----------------|---------|----------|
|                             |            |                  |       |                 | Нижняя граница             | Верхняя граница |         |          |
| 10                          | 22,000     | 0,423            | 0,307 | 0,065           | 0,287                      | 0,559           | 0,100   | 1,000    |
| 20                          | 17,000     | 0,512            | 0,353 | 0,086           | 0,330                      | 0,693           | 0,100   | 1,200    |
| 30                          | 21,000     | 0,729            | 0,315 | 0,069           | 0,585                      | 0,872           | 0,100   | 1,300    |
| 40                          | 12,000     | 0,692            | 0,350 | 0,101           | 0,469                      | 0,914           | 0,100   | 1,200    |
| 50                          | 25,000     | 0,764            | 0,413 | 0,083           | 0,593                      | 0,935           | 0,100   | 1,700    |
| Всего                       | 97,000     | 0,626            | 0,372 | 0,038           | 0,551                      | 0,701           | 0,100   | 1,700    |

| Корреляционный и дисперсионный анализы |       |                                  |         |   |         |
|--|-------|----------------------------------|---------|---|---------|
| Критерий Колмогорова-Смирнова D        | p     | Коэффициент Пирсона (корреляция) | p       | Коэффициент Фишера (дисперсионный анализ) | p       |
| 0,12720                                | <0,01 | 0,346                            | 0,00052 | 3,790332                                  | 0,00673 |

Таблица 4 – Описательная статистика для ширины участка обтирания ОП с учетом уровней фактора угол встречи пули с препятствием («Угол встречи»)

| «Угол встречи» <sup>0</sup> | Количество | Среднее значение | СКО   | Ошибка среднего | 95% доверительный интервал |                 | Минимум | Максимум |
|-----------------------------|------------|------------------|-------|-----------------|----------------------------|-----------------|---------|----------|
|                             |            |                  |       |                 | Нижняя граница             | Верхняя граница |         |          |
| 10-20                       | 39,000     | 0,462            | 0,327 | 0,052           | 0,356                      | 0,567           | 0,100   | 1,200    |
| 30-50                       | 58,000     | 0,736            | 0,362 | 0,048           | 0,641                      | 0,831           | 0,100   | 1,700    |
| Всего                       | 97,000     | 0,626            | 0,372 | 0,038           | 0,551                      | 0,701           | 0,100   | 1,700    |

| Дисперсионный анализ                      |                        |
|---|------------------------|
| Коэффициент Фишера (дисперсионный анализ) | P (уровень значимости) |
| 14,500                                    | 0,000248               |

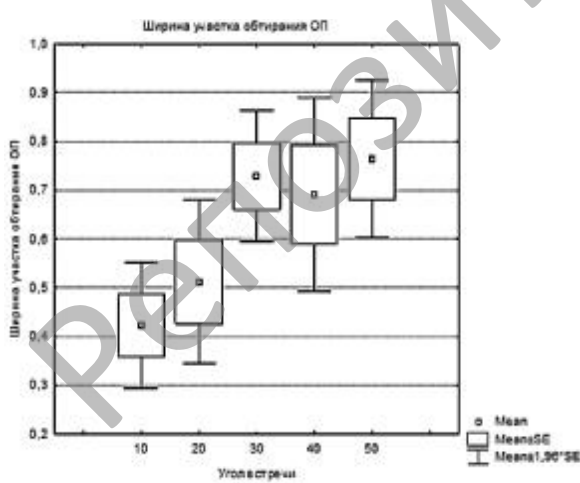


Рис. 3 – Диаграмма для параметра ширина участка обтирания ОП (Mean – среднее значение, SE – ошибка среднего).

При изучении результатов анализа описательных статистик отмечается отличие значений параметра для значений угла встречи пули с препятствием >20. Следовательно, научно обоснованно будет разбить значения

угла на две группы (два уровня), где первая группа включает значения угла <30, а вторая – значения угла ≥30 и проанализировать влияние уровней фактора угол на ширину участка обтирания (табл. 4).

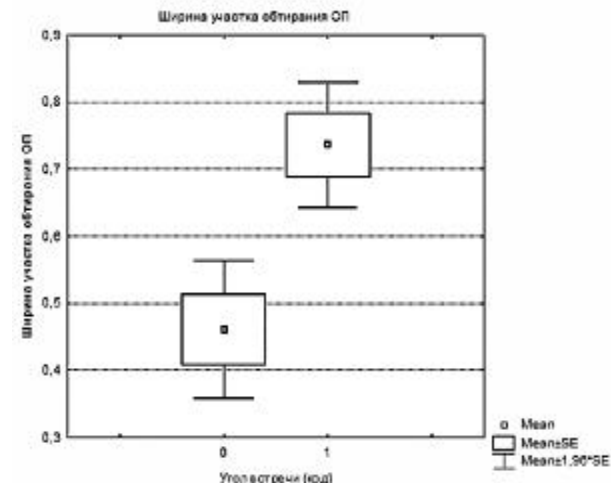


Рис. 4 – Диаграмма вида ящик с усами для параметра ширина участка обтирания ОП (Mean – среднее значение, SE – ошибка среднего)

## *Лечебно-профилактические вопросы*

## **Оригинальные научные публикации** ☆

Как следует из таблицы 4, влияние угла встречи пули с преградой значимо с более чем 99% вероятностью. На рисунке 4 представлены диаграммы 95% доверительных интервалов для средних значений в группах, соответствующих двум уровням фактора «угол встречи».

Основываясь на доверительных интервалах можно прогнозировать значение угла:

- 1) Если значение ширины участка обтирания находится в интервале [0,36-0,57], угол меньше 30°.
- 2) Если значение ширины участка обтирания находится в интервале [0,64-0,83], угол больше или равен 30°.

Таким образом, установлена прямая зависимость между длиной участка обтирания вокруг ОП и углом встречи пули с преградой. Зависимость является статистически значимой ( $F=5,77$ ,  $p=0,00034$ ) с уровнем достоверности более 99%. Также установлена прямая зависимость между шириной участка обтирания вокруг ОП и углом встречи пули с преградой. Зависимость является статистически значимой ( $F=3,790$ ,  $p=0,00673$ ) с уровнем достоверности более 99%.

Результаты лабораторного эксперимента и последующего комплексного судебно-медицинского исследования экспериментальных мишней установили наличие прямой связи (уровень достоверности составил более 99%) между значениями угла встречи пули с преградой и параметрами участка обтирания

вокруг входных пулевых огнестрельных повреждений, образовавшихся в результате рикошета при выстреле из 9-мм пистолета Макарова ( $p<0,05$ ).

### **Литература**

1. Бедрин, Л. М. Судебная медицина. Учебник / Л. М. Бедрин; под ред. В. М. Смольянинова – 2-ое изд., перераб. и доп. // М.: Медицина, 1982. – 464 с.
2. Гаджиева, Д. Б. Особенности следов близкого выстрела из некоторых современных образцов огнестрельного оружия (эксперим. исслед.): автореф. дис....канд. мед. наук: 14.00.24 / Д. Б. Гаджиева; Гос. образоват. учр. доп. проф. образов. «Рос. Мед. акад. последипл. образов» Росздрава – М., 2007. – 25 с.
3. Гусенцов, А. О. Особенности экспериментального моделирования рикошета огнестрельного снаряда / А. О. Гусенцов, Э. В. Туманов, В. А. Чучко // Вопросы криминологии, криминалистики и судебной экспертизы. Сборник научных трудов. – Минск. – 2012. – № 1 (31). – С. 166-169.
4. Попов, В. Л. Судебно-медицинская баллистика / В. Л. Попов, В. Б. Шигеев, Л. Е. Кузнецов. – СПб: Гиппократ, 2002. – 656 с.
5. Хохлов, В. В. Судебная медицина: Руководство / В.В. Хохлов, В.В. Кузнецов // Смоленск, 1998. – 800 с.
6. Чучко, В. А. Методика моделирования рикошета в экспериментальных условиях / В.А. Чучко, А.О. Гусенцов // «Научно-практич. журнал «Медицинский журнал» – Минск, 2009 – № 1 (27). – С. 108-110.
7. Эйдин, Л. М. Огнестрельные повреждения. / Л. М. Эйдин. – 2-е изд. доп. и перераб. – Ташкент, Медгиз УзССР, 1963. – 330 с.
8. Cecchetto, G. Estimation of the firing distance through micro-CT analysis of gunshot wounds / G. Cecchetto [et al.]. // Int. J. of Legal Med. – 2011. – Vol. 125. – 1. 2. – P. 245-251.
9. Hartline, P. C. A Study of Shotgun Pellet Ricochet from Steel Surfaces / P.C. Hartline, G. Abraham, W.F. Rowe // Journ. of Forens. Sc. – 1982. – Vol. 27. – No. 3. – P. 506-512.

Поступила 10.08.2012 г.